

Nestabilní (radiogenní) izotopy



Vazebná energie jádra

proton: $1,007593 \text{ daltonů} = 1,6726231 \times 10^{-27} \text{ kg}$

neutron: $1,008982 \text{ daltonů}$

elektron: $0,000548756 \text{ daltonů} = 9,10093897 \times 10^{-31} \text{ kg}$

hmotnostní úbytek $\delta = W - M$

W – součet hmotností částic

M – hmotnost částic

$${}^4\text{He} = 2m_p + 2m_n + 2m_e = 4,034248 \text{ daltonů}$$

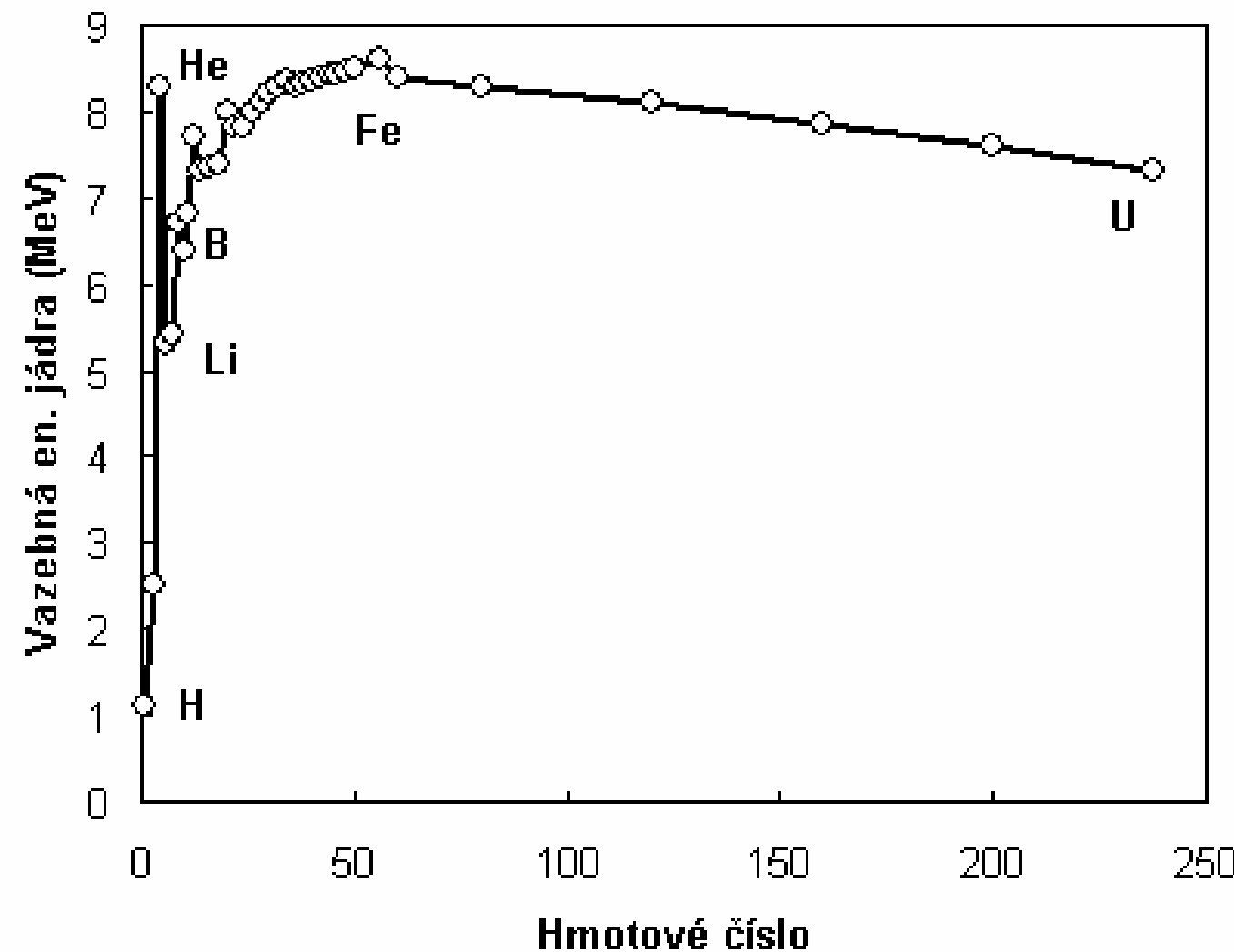
$$m({}^4\text{He}) = 4,003873 \text{ daltonů}$$

$$\delta = 0,030375 \text{ daltonů} (\text{tj. } 28,28 \text{ MeV – vazebná energie})$$

$$E = m c^2$$

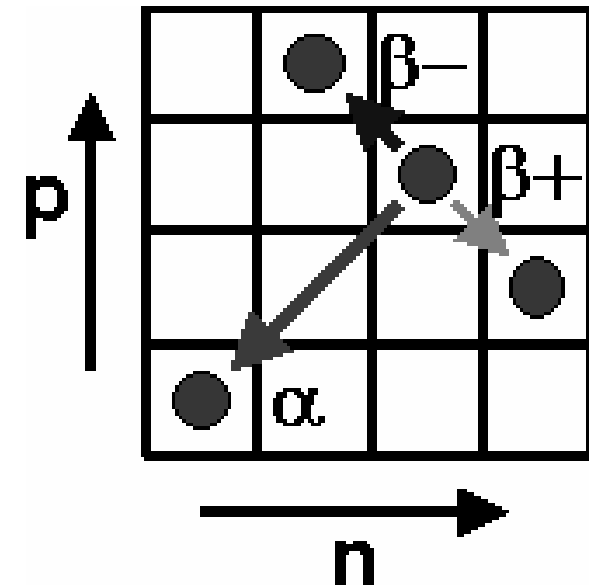


Vazebná energie jádra - graf

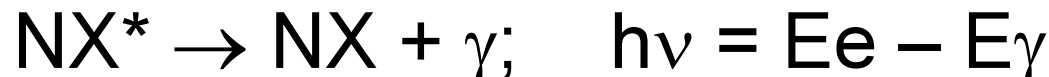


Rozpad nestabilního a vybuzeného jádra

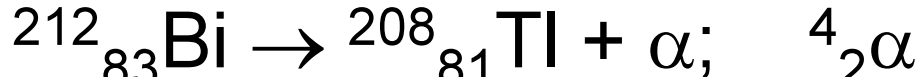
$$dN/dt = -\lambda N$$



γ - záření:



α -rozpad:



β -rozpad:



záchyt elektronu: $^{40}\text{K} + e^- \rightarrow ^{40}\text{Ar}; \beta^+$



spontánní rozpad: $^{238}\text{U} \rightarrow 3$ jádra (A 30–64) + x n

fission track datování

Rychlosť rozpadu

$$\frac{dN}{dt} = -\lambda N$$

$$\int dN/N = \int -\lambda dt$$

$$\ln N/N_0 = -\lambda t$$

$$N = N_0 e^{-\lambda t}$$

Poločas rozpadu

$$t_{1/2} = \ln 2 / \lambda$$

$$D = P_0 - P \quad (\text{daughter, parent})$$

$$D = P e^{\lambda t} - P = P (e^{\lambda t} - 1)$$

$$D = D_0 + P (e^{\lambda t} - 1)$$



$$^{87}\text{Sr} = ^{87}\text{Sr}_0 + ^{87}\text{Rb} (e^{\lambda t} - 1)$$

$$^{87}\text{Sr}/^{86}\text{Sr} = ^{87}\text{Sr}_0/^{86}\text{Sr} + ^{87}\text{Rb}/^{86}\text{Sr} (e^{\lambda t} - 1)$$



Geochronologie

$$D = D_0 + P (e^{\lambda t} - 1)$$

rovnice přímky

$$y = a + b x$$

$$b = e^{\lambda t} - 1$$

$$t = 1/\lambda \ln (b + 1)$$

$$b = \Delta D / \Delta P$$

Nyquist et al. (1990) – meteorit
Bholghati – stáří Sluneční soustavy

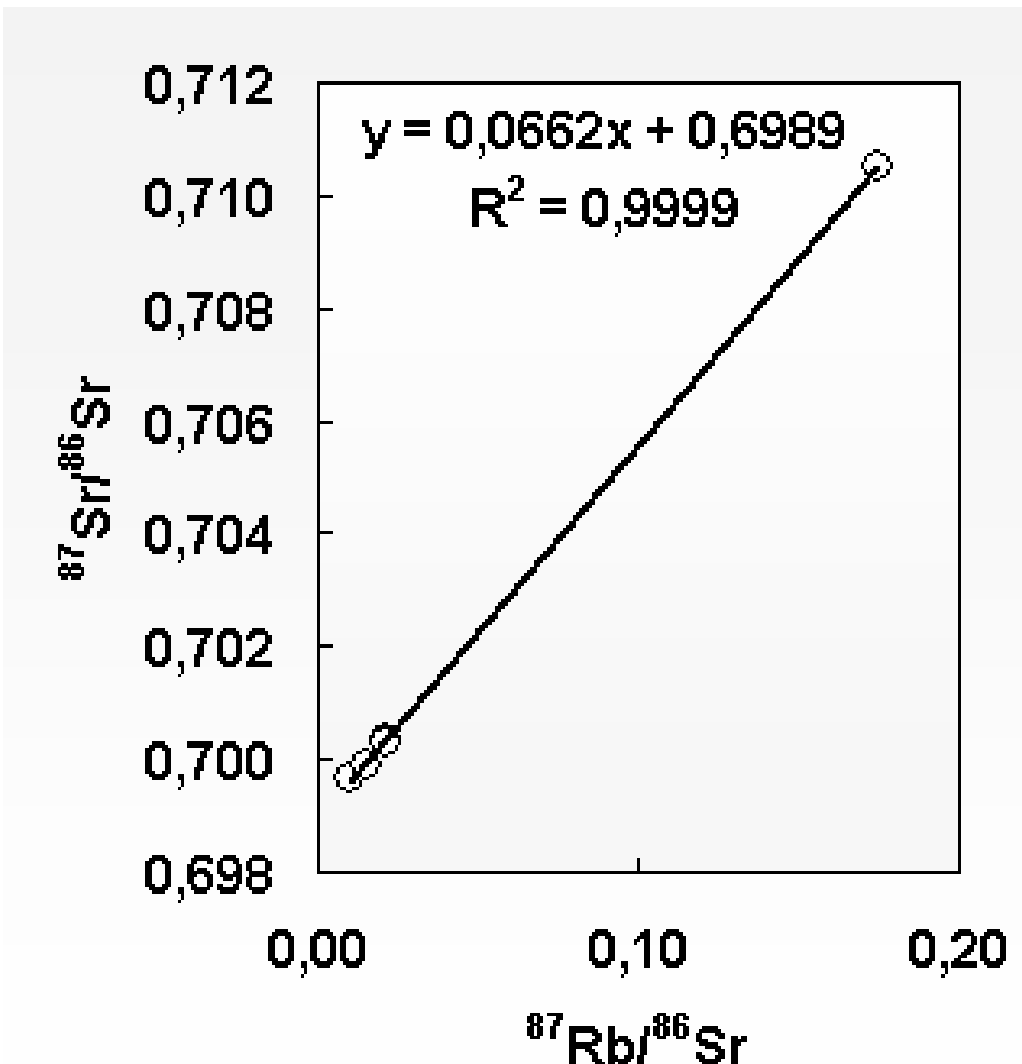
$$^{87}\text{Sr}/^{86}\text{Sr} = 0,6989 + 0,0662 \cdot ^{87}\text{Rb}/^{86}\text{Sr}$$

$$(e^{\lambda t} - 1) = 0,0662$$

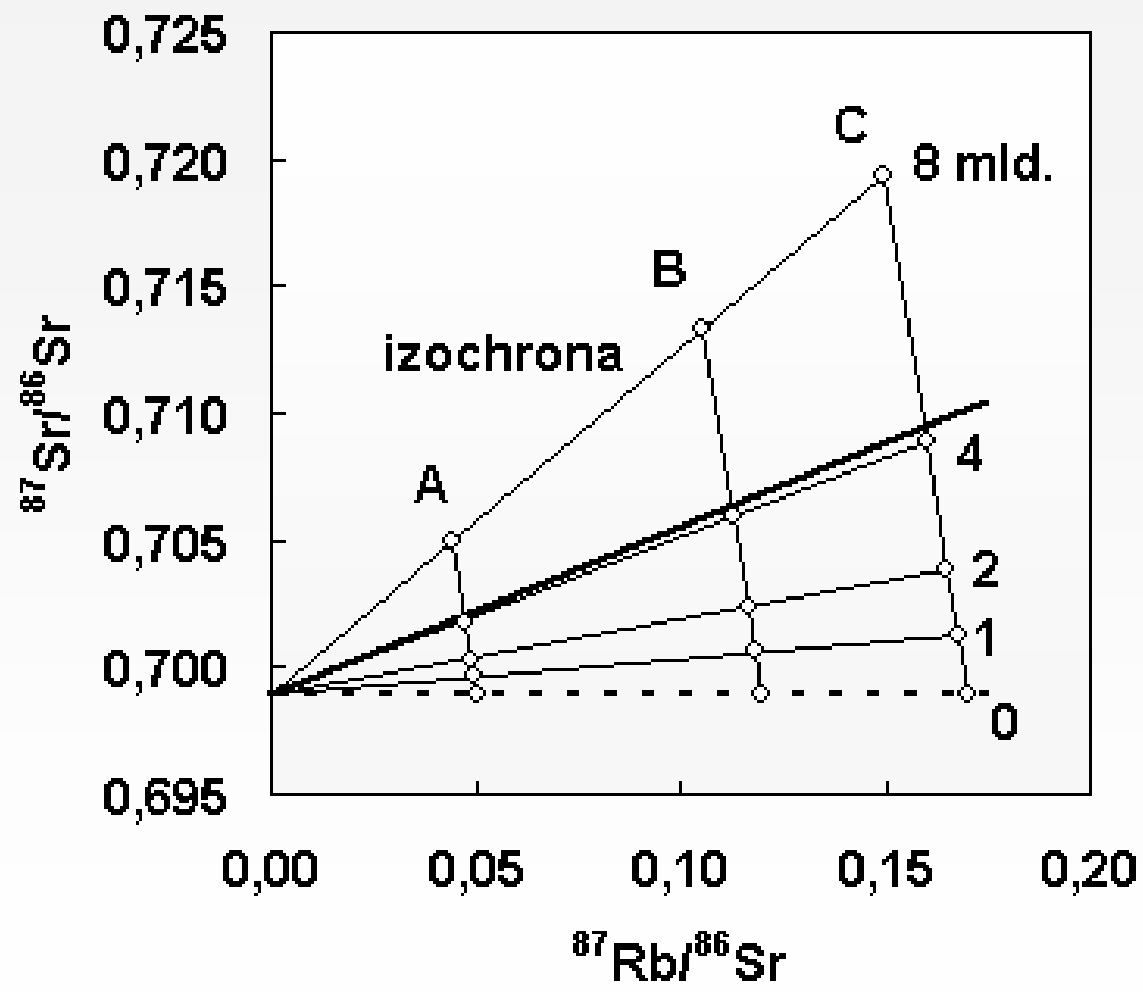
$$\lambda = 1,42 \times 10^{-11} \text{ rok}^{-1}$$

$$t = 1 / 1,42 \times 10^{-11} \ln 1,0662$$

$$t = 4,51 \times 10^9 \text{ let} = 4,51 \text{ miliardy let}$$



Izochrony

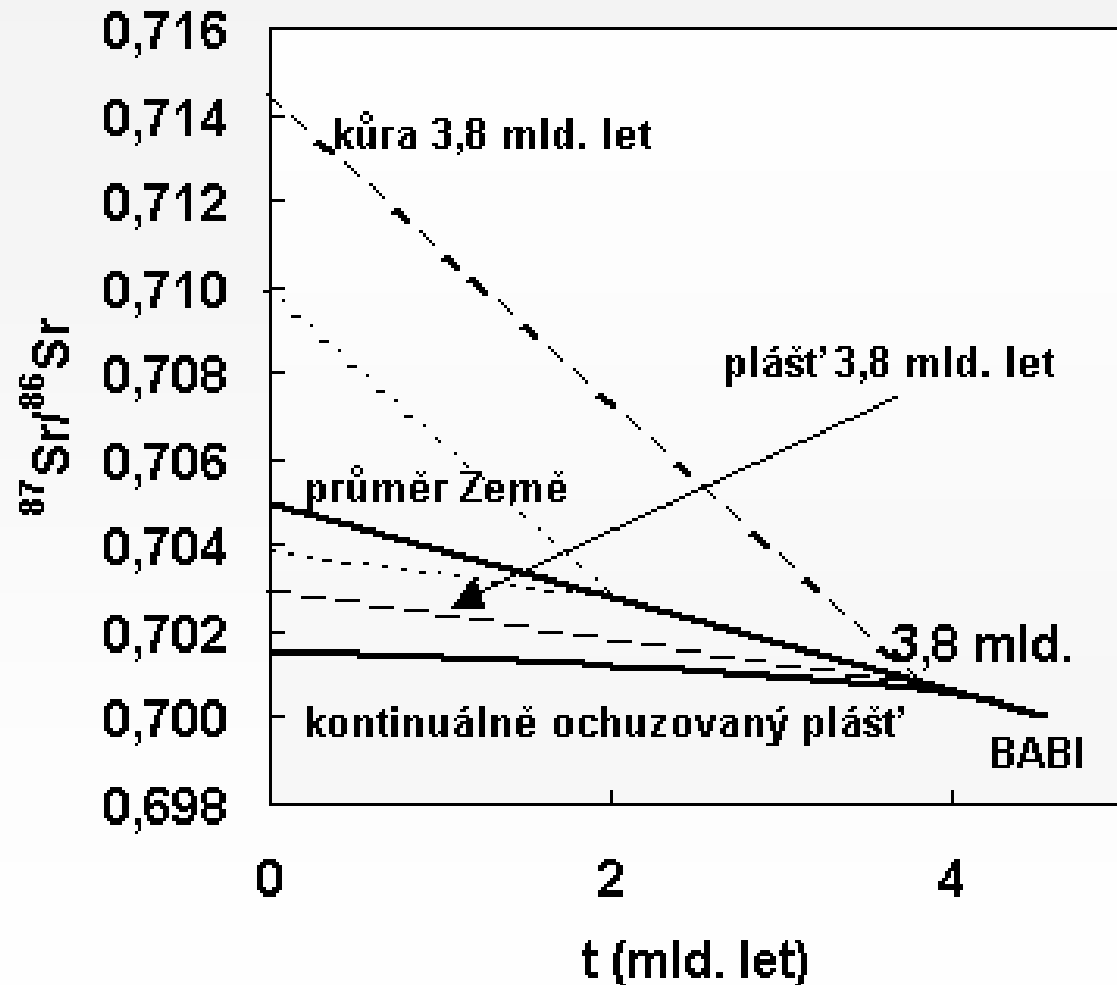


Užitečné systémy

rodič	dceřinný produkt	rozpad	$\lambda (\times 10^{12} \text{ rok}^{-1})$	$t_{1/2} (\times 10^{-9} \text{ let})$	poměr
^{40}K	$^{40}\text{Ar}, ^{40}\text{Ca}$	β^+, β^-	554,3	1,28	$^{40}\text{Ar}/^{36}\text{Ar}$
^{87}Rb	^{87}Sr	β^-	14,2	48	$^{87}\text{Sr}/^{86}\text{Sr}$
^{138}La	^{138}Ce	β^-	2,67	259	$^{138}\text{Ce}/^{142}\text{Ce}, ^{138}\text{Ce}/^{136}\text{Ce}$
^{147}Sm	^{143}Nd	α	6,54	106	$^{143}\text{Nd}/^{144}\text{Nd}$
^{176}Lu	^{176}Hf	β^-	19,4	36	$^{176}\text{Hf}/^{177}\text{Hf}$
^{187}Re	^{187}Os	β^-	16,4	42,3	$^{187}\text{Os}/^{186}\text{Os}, ^{187}\text{Os}/^{188}\text{Os}$
^{232}Th	$^{208}\text{Pb}, ^4\text{He}$	α	49,48	14	$^{208}\text{Pb}/^{204}\text{Pb}, ^3\text{He}/^4\text{He}$
^{235}U	$^{207}\text{Pb}, ^4\text{He}$	α	984,9	0,707	$^{207}\text{Pb}/^{204}\text{Pb}, ^3\text{He}/^4\text{He}$
^{238}U	$^{206}\text{Pb}, ^4\text{He}$	α	155,1	4,47	$^{206}\text{Pb}/^{204}\text{Pb}, ^3\text{He}/^4\text{He}$



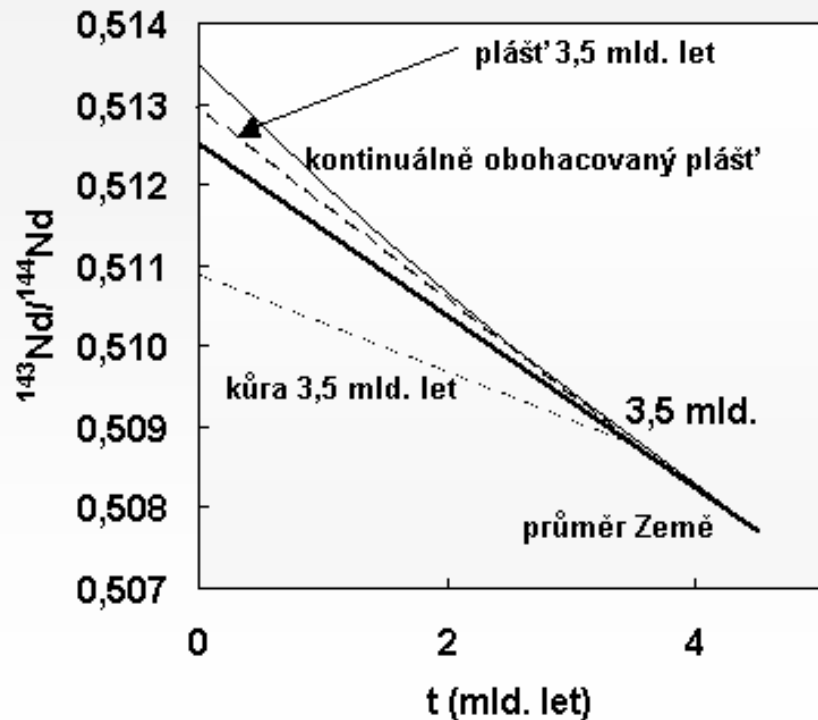
^{87}Rb — ^{87}Sr



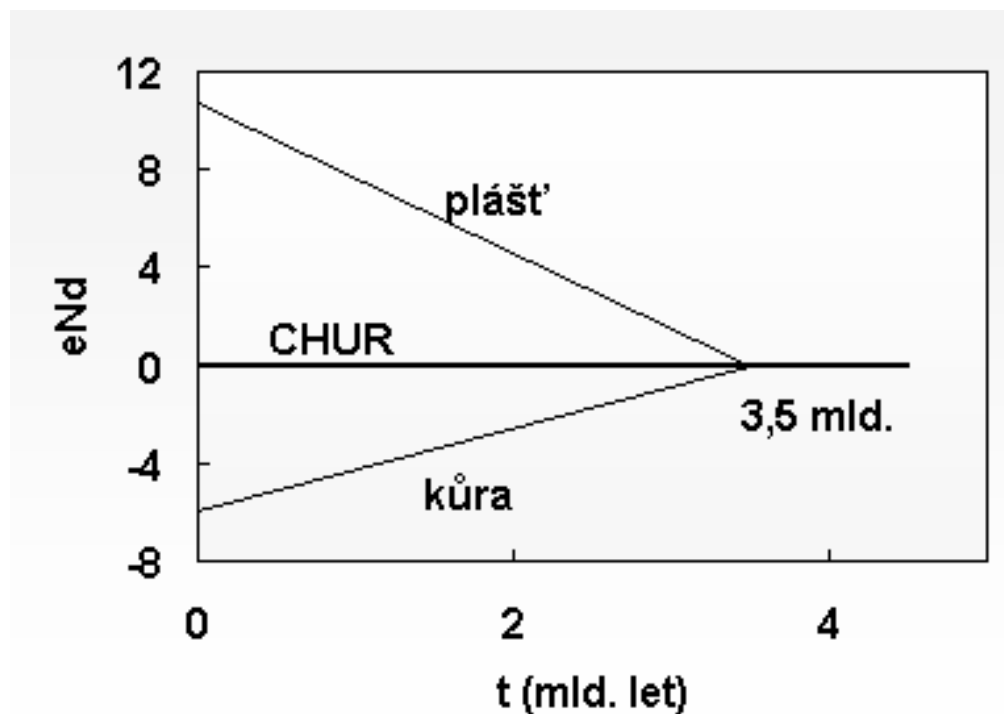
kůra je nabohacována na Rb frakcionací, výrazné změny ve světlých horninách, malé v tmavých

BABI (best initial basaltic achondrite)

^{147}Sm – ^{143}Nd



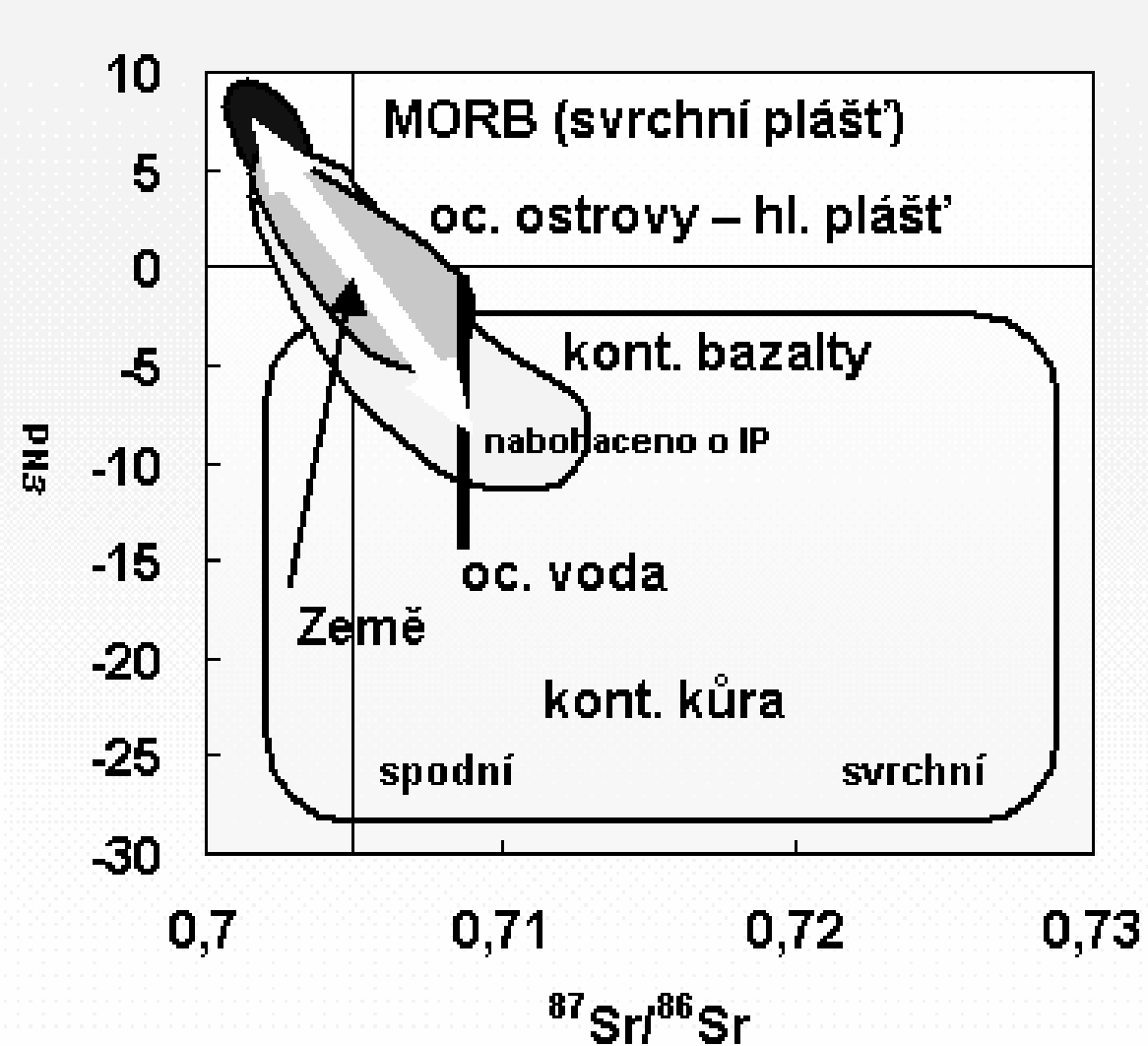
opačné chování než ^{87}Rb – ^{87}Sr



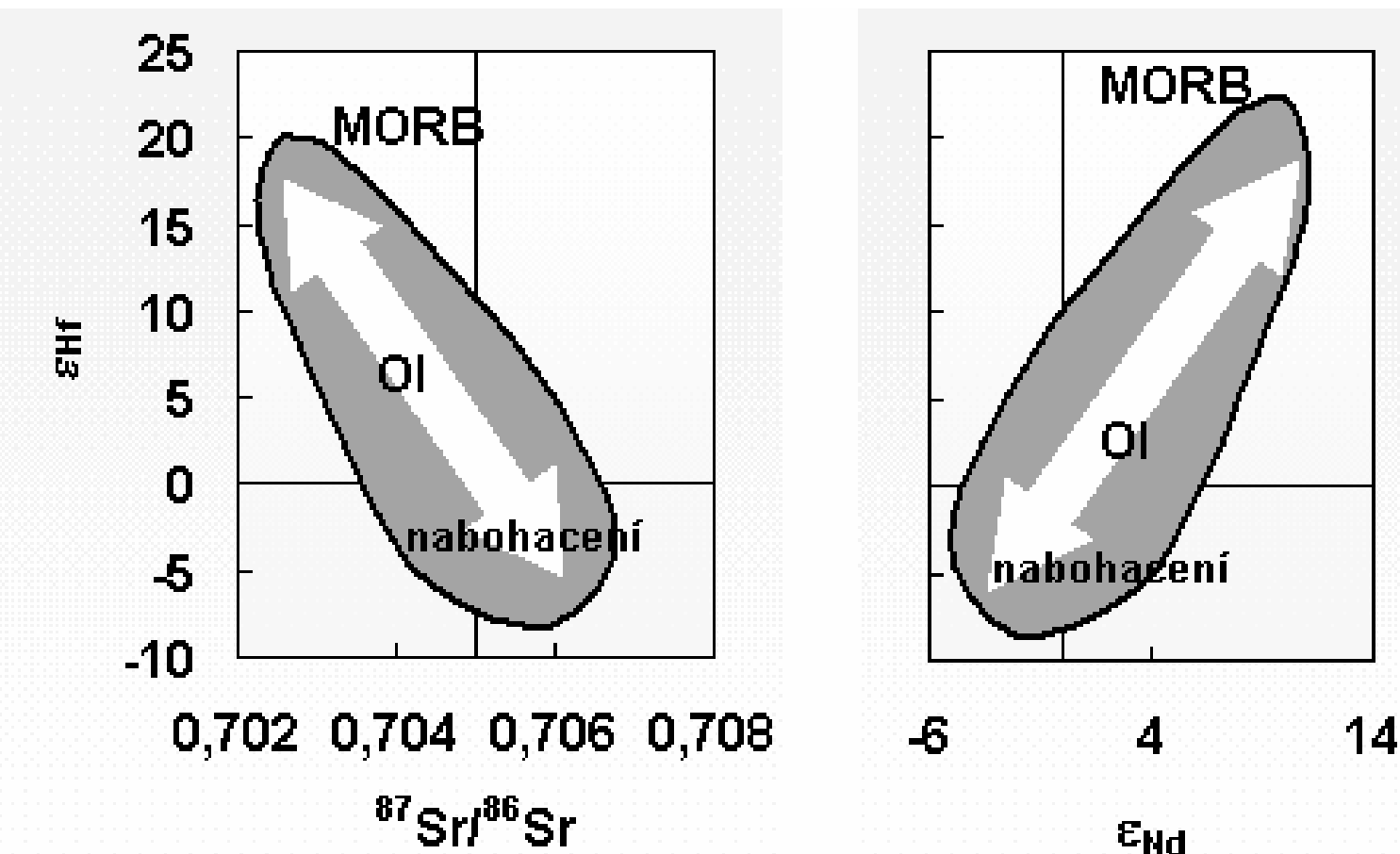
poměr vůči chondritu

$$\varepsilon_{\text{Nd}} = [(^{143}\text{Nd}/^{144}\text{Nd}) - (^{143}\text{Nd}/^{144}\text{Nd})_{\text{chon}}] / (^{143}\text{Nd}/^{144}\text{Nd})_{\text{chon}} \times 10^4$$

Kombinace různých izotopů



$^{176}\text{Lu}-^{176}\text{Hf}$



U-Th-Pb

$$^{207}\text{Pb}/^{204}\text{Pb} = (^{207}\text{Pb}/^{204}\text{Pb})_0 + ^{235}\text{U}/^{204}\text{Pb} (e^{\lambda 235t} - 1)$$

$$^{206}\text{Pb}/^{204}\text{Pb} = (^{206}\text{Pb}/^{204}\text{Pb})_0 + ^{238}\text{U}/^{204}\text{Pb} (e^{\lambda 238t} - 1)$$

$$\mu = ^{238}\text{U}/^{204}\text{Pb}$$

$$\kappa = ^{232}\text{Th}/^{238}\text{U}$$

$$^{238}\text{U}/^{235}\text{U} = 137,88$$

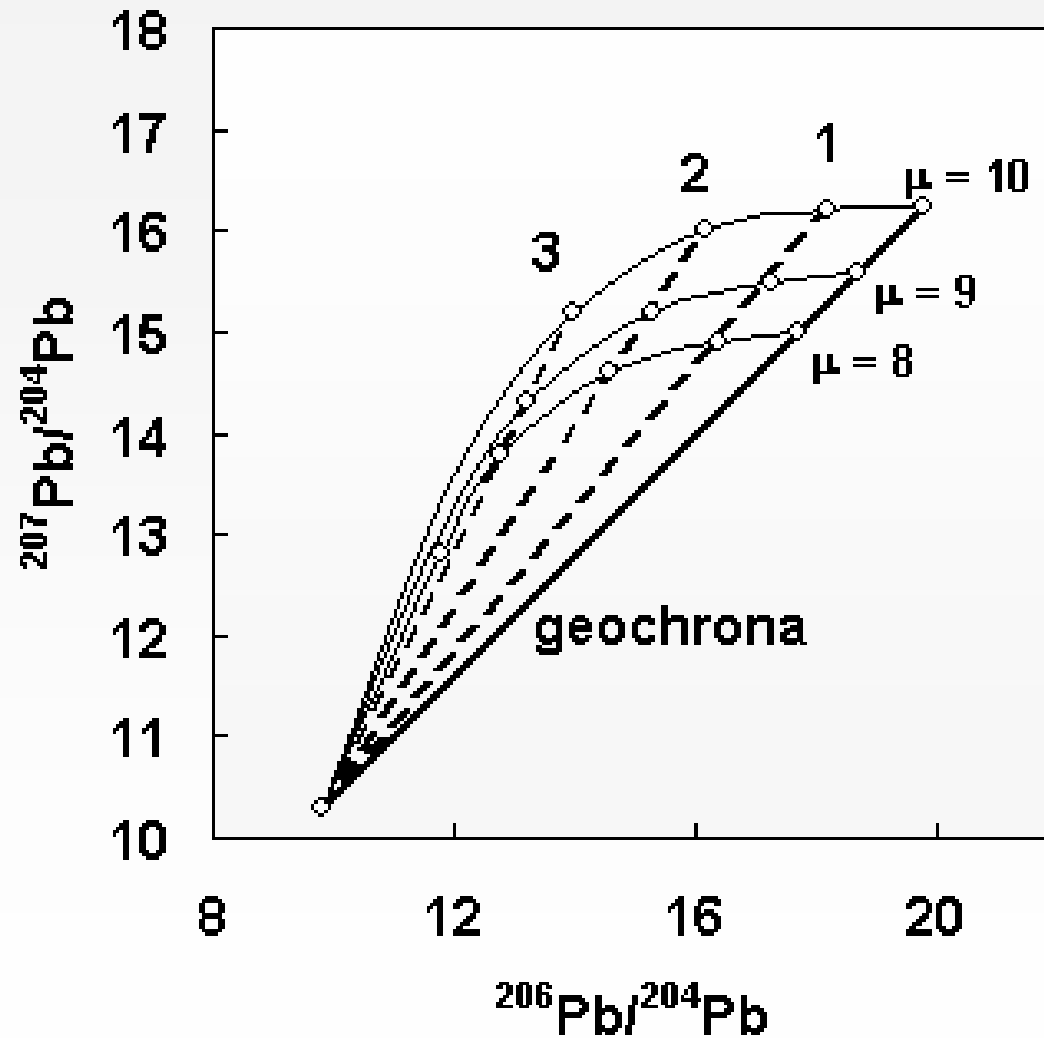
$$^{207}\text{Pb}/^{204}\text{Pb} = (^{207}\text{Pb}/^{204}\text{Pb})_0 + \mu/137,88 (e^{\lambda 235t} - 1)$$

$$^{206}\text{Pb}/^{204}\text{Pb} = (^{206}\text{Pb}/^{204}\text{Pb})_0 + \mu (e^{\lambda 238t} - 1)$$

$$\begin{aligned} (^{207}\text{Pb}/^{204}\text{Pb})/(^{206}\text{Pb}/^{204}\text{Pb}) &= \\ &= 1/137,88 \times (e^{\lambda 235t} - 1)/(e^{\lambda 238t} - 1) \end{aligned}$$



U-Th-Pb



Kinetika

aktivita dN_i / dt – počet rozpadů za minutu

$$dN_i / dt = -\lambda_i N_i$$

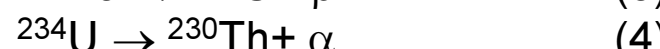
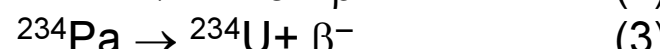
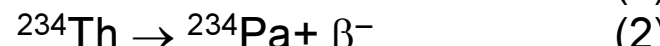
stacionární stav

$$0 = \lambda_P N_P - \lambda_D N_D$$

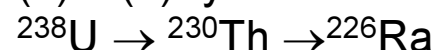
obecně

$$dN_D / dt = \lambda_P N_P - \lambda_D N_D$$

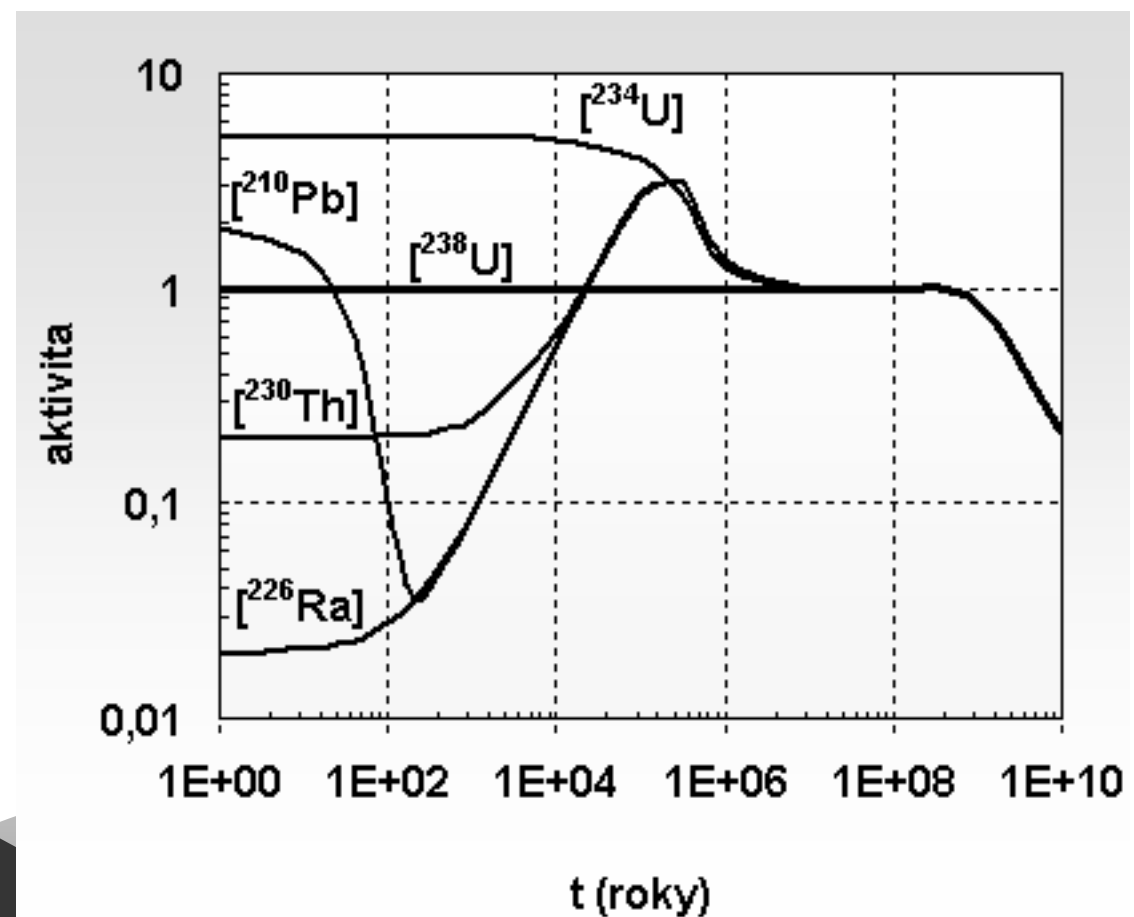
Pro rozpadovou řadu ^{238}U



(2) a (3) rychlé



Aktivita U se po miliardy let prakticky nemění, aktivita všech meziproduktů bez ohledu na výchozí stav zhruba po milionu let dosáhne stejné hodnoty jako ^{238}U



Kinetika – určování dynamiky

Určování dynamiky růstu Mn nodulí

pro sedimenty (^{230}Th izolováno do sedimentu)

$$^{230}\text{Th} = {}^{230}\text{Th}_s + {}^{230}\text{Th}_u$$

s - supported by U, u - unsupported

$${}^{230}\text{Th} = {}^{238}\text{U} + ({}^{230}\text{Th}_0 - {}^{238}\text{U}) e^{-\lambda 230 t}$$

$$\frac{{}^{230}\text{Th}}{{}^{232}\text{Th}} = \left(\frac{{}^{230}\text{Th}}{{}^{232}\text{Th}}\right)_0 e^{-\lambda 230 t} + \left(\frac{{}^{238}\text{U}}{{}^{232}\text{Th}}\right) (1 - e^{-\lambda 230 t})$$

růst Mn nodulí

$$t = z/s$$

z – hloubka

s – rychlosť růstu

$$y = a e^{k/s} + b e^{k/s}$$

podle Huh a Ku (1984), lokalizace

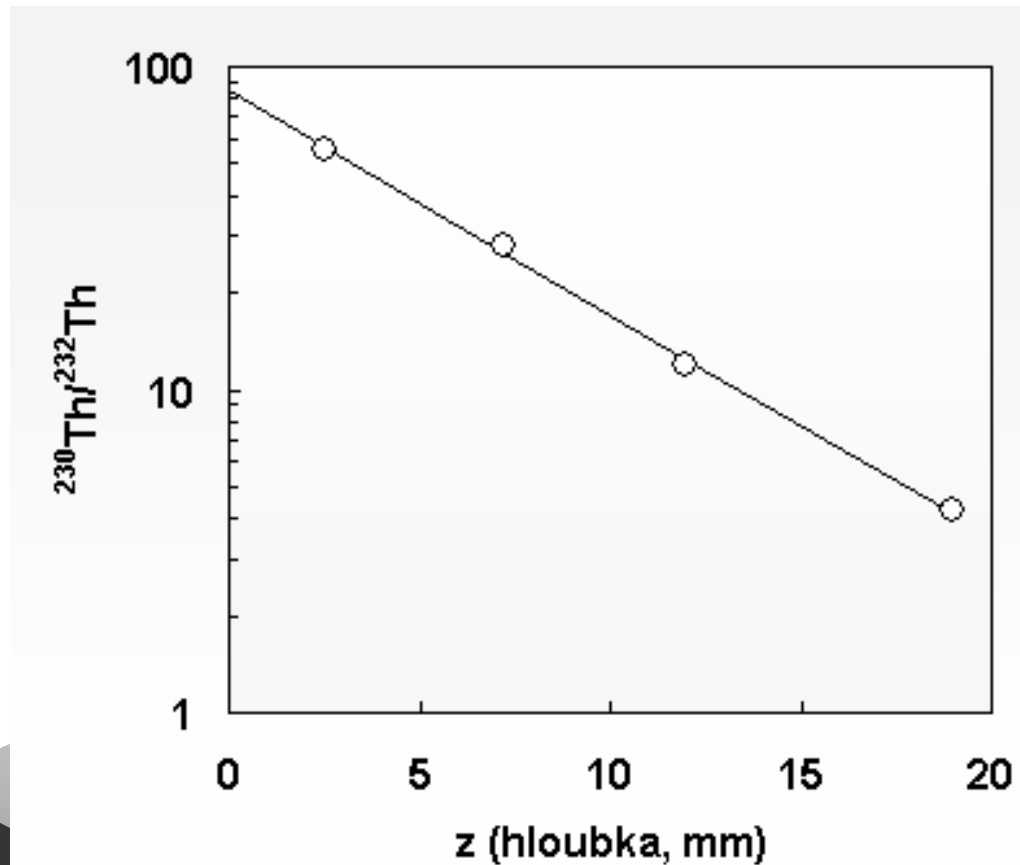
MANOP

$$\left(\frac{{}^{230}\text{Th}}{{}^{232}\text{Th}}\right)_0 = 84,25$$

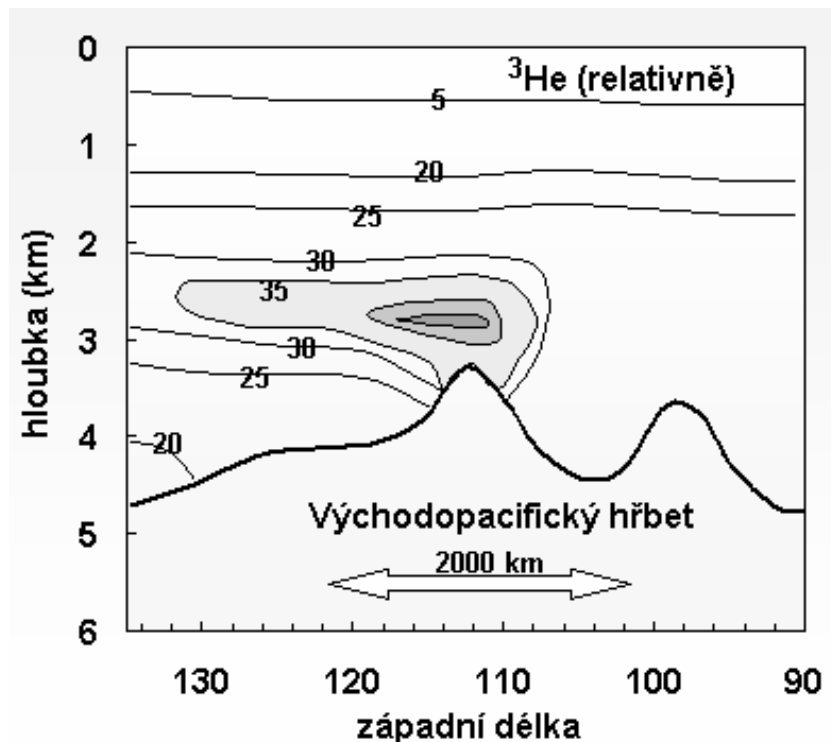
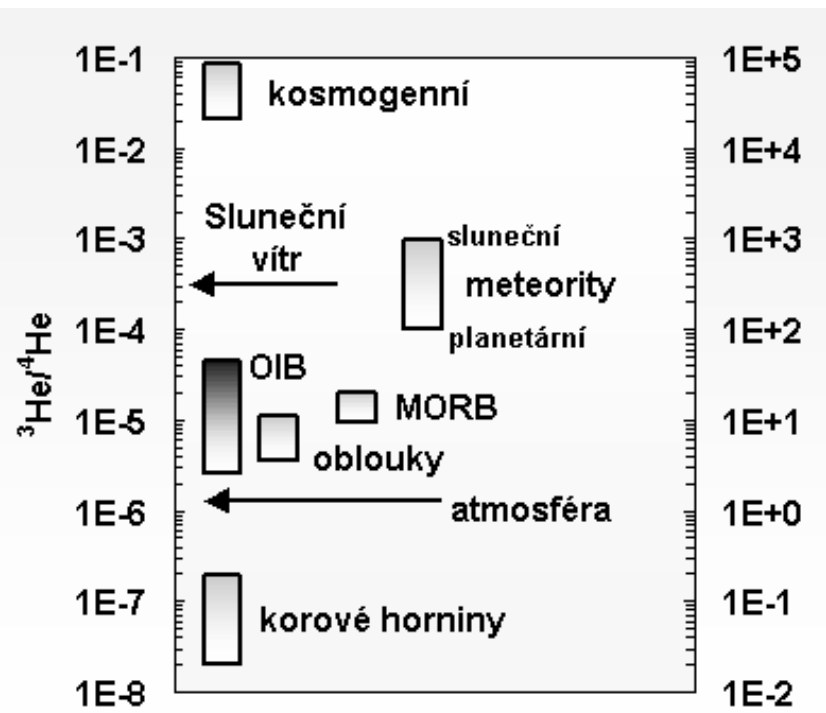
$$\left(\frac{{}^{238}\text{U}}{{}^{232}\text{Th}}\right) = 0,22$$

$$s = 5,73 \times 10^{-5} \text{ mm/rok}$$

$$S = 57,3 \text{ mm/mil. let}$$



$^{3}\text{He}/^{4}\text{He}$



^{14}C

kosmogenní původ, až 40.000 let, atmosféra konst. $^{14}\text{C}/^{12}\text{C}$, po izolaci od atmosféry

$$^{14}\text{C}/^{12}\text{C} = (^{14}\text{C}/^{12}\text{C})_0 e^{-\lambda_{14} t}$$

$$\lambda_{14} = 0,1209 \times 10^{-3} \quad (t_{1/2} = 5730)$$

